

Université de Bordeaux 1  
**Rapport de stage en laboratoire**

Maître de stage : Foerster Dietrich

# Mise en oeuvre d'une extension en $O(N^3)$ de la méthode GW de Hedin sur des Cristaux périodiques

---

Barbry Marc

Bordeaux, du 15 mai au 15 juillet

## Remerciements

Je tiens à remercier Mr Foerster, Mr Sanchez et Mr Koval pour m'avoir accepté dans leur projet. Je les remercie également pour le temps qu'ils ont passé pour m'expliquer les problèmes liés à leur projet.

Je remercie Mr Koval et Mr Sanchez pour leur hospitalité lors de mon séjour à San Sebastian qui fut très agréable et très instructif.

Je remercie particulièrement Mr Foerster pour son aide durant le stage, mais également avant, en particulier pour son soutiens dans mes projets à l'international.

## Sommaire

<b>Introduction</b>	<b>3</b>
<b>1 Présentation du Laboratoire</b>	<b>3</b>
<b>2 Bref présentation des semi-conducteurs organiques</b>	<b>4</b>
2.1 La liason hybride $sp_2$ du carbone . . . . .	4
2.2 Les polymères . . . . .	5
<b>3 L'approximation GW de Hedin</b>	<b>5</b>
<b>4 Construction des produits dominants de Bloch</b>	<b>6</b>
4.1 Présentation théorique : . . . . .	6
4.1.1 Définition des orbitales de Bloch . . . . .	6
4.1.2 Construction des orbitales de Bloch . . . . .	7
4.1.3 L'expression de la densité électronique . . . . .	9
4.2 Construction de la base des fonctions de Bloch . . . . .	10
4.2.1 Description du système . . . . .	10
4.2.2 Première étape vers un code pour construire $\tilde{V}_\mu^{a,b}(p_1, p_2)$ et $\tilde{F}_p^\mu(r)$ . . . . .	11
4.2.3 Description du programme . . . . .	12
<b>Conclusion</b>	<b>17</b>
<b>Annexes</b>	<b>18</b>
Les fonctions de Green . . . . .	18
LCAO . . . . .	19

# Introduction

J'ai effectué mon stage au LOMA (laboratoire ondes et matières Aquitaine) du 15 mai au 15 juillet, sous la tutelle de Mr Foester. Mr Foester travail actuellement avec Koval Peter et Sanchez Daniel, chercheurs à l'université de San Sebastian, sur un programme dont le but est de réduire le temps de calcul de  $N^4$  à  $N^3$  de l'approximation GW de Hedin ( $N$  est le nombre d'atomes) pour des cristaux organiques. Car aujourd'hui, pour déterminer les caractéristiques d'un matériau organique, on utilise la méthode DFT/TDDFT de Kohn-Shame-Gross. Mais cette méthode ne permet pas de déterminer le gap du système. Or la méthode GW de Hedin est utilisée pour calculer la gap des systèmes inorganiques, et il serait intéressant de pouvoir appliquer cette méthode à des matériaux organiques. Mais pour ce faire, il faut tout d'abord réduire les temps de calcul de cette méthode, car les molécules des semi-conducteurs organiques sont bien plus complexes que leurs homologues inorganiques. En particulier il serait envisageable de calculer le gap pour des semi-conducteurs organiques, pour pouvoir par la suite déterminer les meilleurs matériaux pour faire des panneaux solaires avec des coûts relativement bas et des rendements comparables aux semi-conducteurs inorganiques.

Dans ce stage, j'ai étudié les réseaux des cristaux périodiques et les semi-conducteurs organiques, afin de pouvoir comprendre comment on peut réduire le temps de calcul pour déterminer les caractéristiques de ces matériaux, et ensuite j'ai participé à l'élaboration du code dans mes modestes moyens.

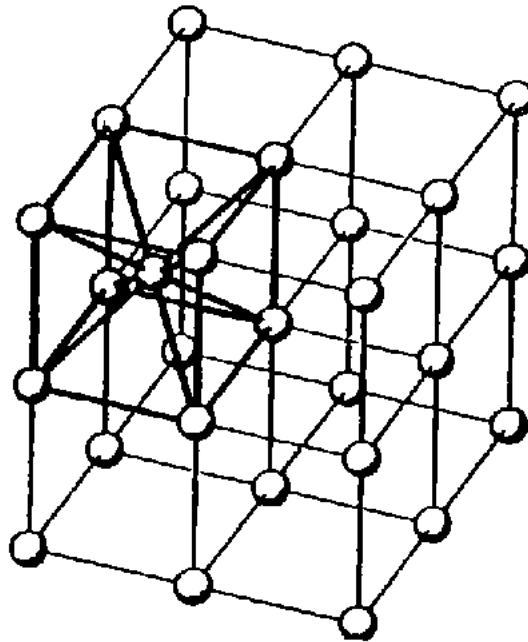


FIGURE 1 – Réseaux cristallin

## 1 Présentation du Laboratoire

Le laboratoire ondes et matières d'Aquitaine (LOMA) est un des centres de recherche en physique de l'université de Bordeaux 1. Ce laboratoire est articulé autour de deux départements :

- Le département physique de la matière condensée, dont les thèmes principaux sont :
  - Matière molle
  - Écoulement
  - Matériaux et nanostructures
- Le département photonique et matériaux :

- Génération et manipulations de la lumière
- Matériaux dynamiques et nanostructures
- Méthodes innovantes en photoniques

Le laboratoire est constitué d'une centaine de membres dont les 2/3 sont des chercheurs et des enseignants chercheurs. Le laboratoire accueille également une trentaine de doctorants et post-doctorants. Les membres du laboratoire effectuent, pour la majorité, également des enseignements à l'université en plus de leurs travaux de recherche.

Mr Foerster fait parti du département de physique de la matière condensée, en particulier, son travail fait parti de la thématique Matériaux et nanostructures.

Mon travail était théorique, mes activités lors de ce stage étaient principalement la lecture des concepts que je devais savoir maîtriser dans le but de participer à l'écriture du programme.

## 2 Bref présentation des semi-conducteurs organiques

### 2.1 La liaison hybride $sp_2$ du carbone

Les semi-conducteurs organiques sont basés sur les propriétés inhabituelles de l'atome de carbone : entre-autre, il peut former ce que l'on appelle l'hybridation  $sp_2$ , où l'orbital  $sp_2$  forme un triangle dans un plan et les orbitales  $p_z$  sont dans le plan perpendiculaire. Une liaison  $\sigma$  entre deux atomes de carbones peut-être créé par la superposition d'une orbitale avec deux orbitales  $sp_2$ .

La différence d'énergie entre les niveaux occupés et les niveaux inoccupés est assez importante et va bien au delà du spectre visible. Par conséquent, plus les chaînes de carbone liées ont un gap important entre l'orbital moléculaire la plus haute en énergie occupée par un électron (HOMO) et l'orbital moléculaire la plus basse en énergie inoccupé (LUMO), plus le semi-conducteur aura les propriétés d'un isolant.

Cependant, dans l'hybridation  $sp_2$ , les orbitales  $p_z$  forment des liaisons  $\pi$ . Ces liaisons ont alors une différence d'énergie plus petite entre HOMO et LUMO, ce qui conduit à une forte absorption et à un spectre proche de celui du visible et donc les propriétés du système tend vers celui d'un semi-conducteur.

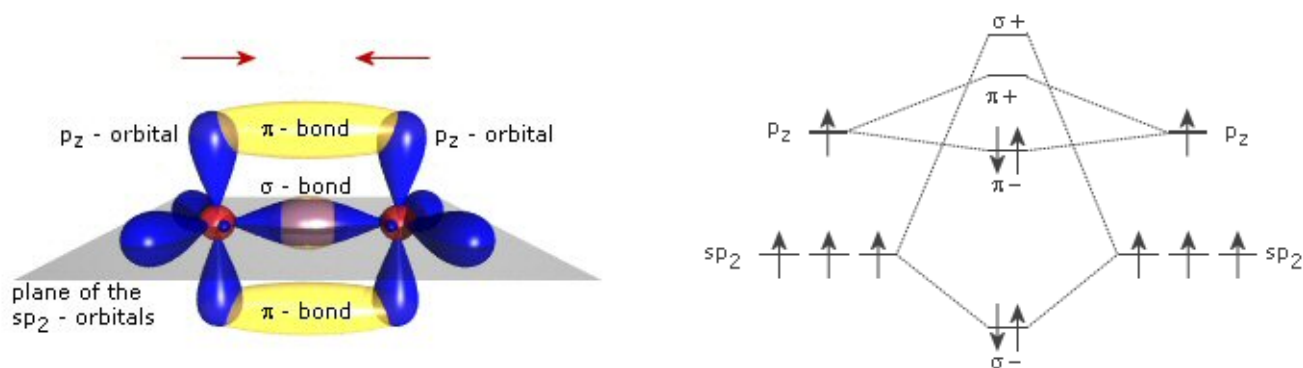


FIGURE 2 – Schémas des orbitales et des liaisons pour deux hybridations  $sp_2$  d'atomes de carbone

## 2.2 Les polymères

Si une longue chaîne de carbone est formé, les liaisons p deviennent délocalisé le long de la chaîne et forme un système électronique à une dimension La bande à une dimension qui en résulte a une très grande largeur de bande (à l'échelle de l'électron volt). C'est à dire, que nous avons un semi-conducteur à une dimension avec une bande de valence remplie qui correspond à HOMO et une bande de conduction vide qui correspond à LUMO. Les propriétés de transport d'un tel polymère sont habituellement déterminé par des défauts dans les chaînes 1-D ou en sautant d'une chaîne à l'autre. Par conséquent, les échantillons ne présentent pas de transport de bande mais sont thermalement activé par saut. Les polymères sont habituellement déposés par des procédés humides, comme le spin-coating ou l'impression.

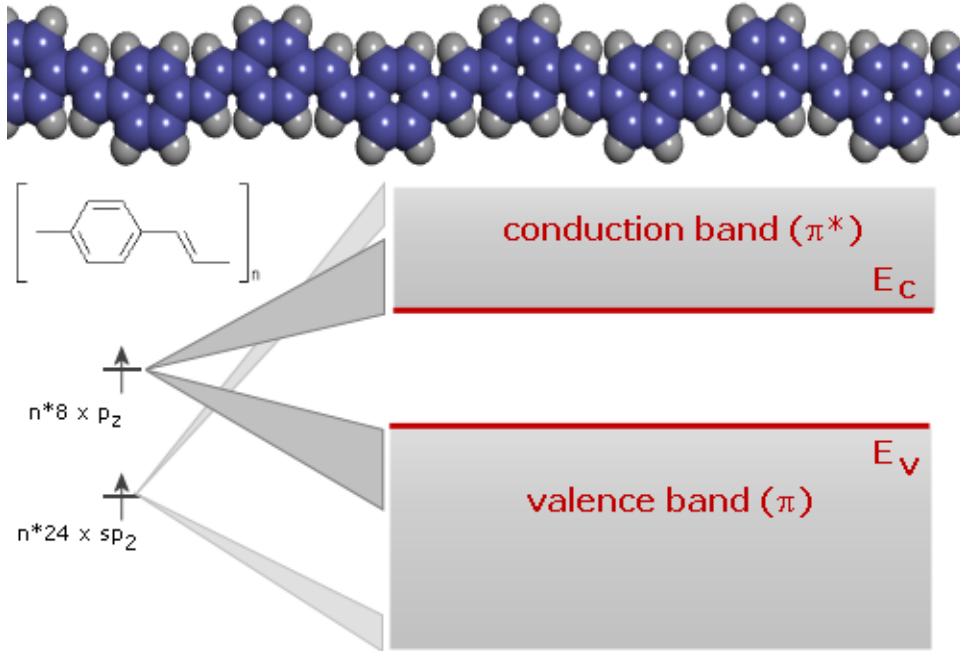


FIGURE 3 – Schéma d'un polymère et de son énergie de structure

## 3 L'approximation GW de Hedin

Dans cette partie je vais faire une courte présentation de l'approximation GW de Hedin. Car il s'agit du thème central du projet, bien que je n'ai pu l'étudier en détail à cause de sa complexité. L'approximation GW (GWA) de Hedin est une approximation dont le but est de calculer la self-energy  $\Sigma$  d'un système. La self-energy représente la contribution de l'énergie de la particule ou de sa masse effective dû à l'interaction entre la particule et le système.

$$\Sigma = GW \quad (1)$$

Où :

- $G$  sont les fonctions de Green<sup>1</sup>
- $W$  est l'interaction dynamique écrantée

$$G(rt, r't') = -i \langle \psi_0 | T [\psi(rt) \psi^\dagger(r't')] | \psi_0 \rangle \quad (2)$$

1. Pour plus de détail, voir l'annexe sur les fonctions de Green.

Avec :

- $|\psi_0\rangle$  qui représente l'état fondamental du système
- $\psi$  et  $\psi^\dagger$  sont les opérateurs annihilateurs et créateurs d'électrons.
- 

$$\begin{aligned}
T [A(t)B(t')] &= \pm A(t)B(t') & \text{si } t > t' \\
&= \pm B(t')A(t) & \text{si } t < t' \\
&\quad - \text{ si bosons} \\
&\quad + \text{ si fermions} \\
W(r, r', \omega) &= \int dr'' \epsilon^{-1}(r, r'', \omega) v(r, r'')
\end{aligned} \tag{3}$$

Où  $\epsilon^{-1}$  est l'inverse de la fonction diélectrique.

## 4 Construction des produits dominants de Bloch

Comme ce projet est très complexe, il est basé sur les travaux précédents de Mr Foester, Mr Koval et Mr Sanchez et a demandé plusieurs années de travail et de collaboration, il m'est tout simplement impossible d'en comprendre tous les aspects en seulement deux mois, et je me bornerai bien entendu à décrire ma modeste contribution.

Mon premier travail a consisté à mettre au point un programme qui permet de construire les produits dominants de Bloch.

Je vais donc faire d'abord une présentation théorique des fonctions de Bloch qui nous permettra ensuite d'aborder la construction du programme.

### 4.1 Présentation théorique :

#### 4.1.1 Définition des orbitales de Bloch

Nous supposons les translations invariantes :  $\vec{a}_i$  avec  $i = 1, 2, 3$ .  
Les orbitales de Bloch sont définies par [8] [6] :

$$\tilde{f}_{\vec{p}}^a(\vec{r}) = \sum_{n_i=-\infty}^{+\infty} f^a(\vec{r} - n_1\vec{a}_1 - n_2\vec{a}_2 - n_3\vec{a}_3) e^{-i(p_1n_1+p_2n_2+p_3n_3)} \tag{4}$$

Où :

- $f^a(\vec{r})$  est l'orbitale atomique de la cellule unité.
- les  $\vec{a}_i$  sont les translations dans les différentes directions de l'espace.
- les  $\vec{p}_i$  sont des facteurs de phase.

Par construction les orbitales de Bloch sont périodique par translation :

$$\tilde{f}_{\vec{p}}^a(\vec{r} + \vec{a}_i) = e^{-ip_i} \tilde{f}_{\vec{p}}^a(\vec{r}) \tag{5}$$

Les orbitales de Bloch n'ont pas de sens physique, mais elles sont nécessaires à la construction de la théorie. On peut montrer [7] que les orbitales de Bloch  $\tilde{f}_{\vec{p}}^{a*}, \tilde{f}_{\vec{q}}^b$  pour différentes phases ( $\vec{p} \neq \vec{q}$ ) sont mutuellement orthogonales :

$$\int d^3r \tilde{f}_{\vec{p}}^{a*}(\vec{r}) \tilde{f}_{\vec{q}}^b(\vec{r}) = (2\pi)^3 \prod_{i=1}^3 \delta_{circle}(p_i - q_i) \gamma^{ab}(\vec{p}) \tag{6}$$

Les orbitales de Bloch de même moment ont une métrique :

$$\gamma^{ab}(\vec{p}) = \sum_{n_i=-\infty}^{+\infty} e^{-i(p_1n_1+p_2n_2+p_3n_3)} \int f^{*a}(\vec{r}) f^b(\vec{r} - n_1\vec{a}_1 - n_2\vec{a}_2 - n_3\vec{a}_3) dr \tag{7}$$

### 4.1.2 Construction des orbitales de Bloch

Dans le but d'appliquer la méthode LCAO<sup>2</sup> à un cristal [1] [4] [5], nous voulons exprimer l'opérateur du champ d'un électron en terme des opérateurs d'électrons de Bloch comme  $\psi(\vec{r}, t) = \int dp \tilde{f}_{\vec{p}}^a(\vec{r}) c_a(\vec{p}, t)$ , Ce qui conduit à la densité électronique :

$$n(r, t) = \psi^\dagger(r, t)\psi(r, t) = \int dp_1 dp_2 \tilde{f}_{\vec{p}_1}^{a*}(\vec{r}) \tilde{f}_{\vec{p}_2}^b(\vec{r}) c_a^\dagger(p_1, t) c_b(p_2, t) \quad (8)$$

Comme pour les réseaux, il y a beaucoup trop de produits  $\tilde{f}_{\vec{p}_1}^{a*}(\vec{r}) \tilde{f}_{\vec{p}_2}^b(\vec{r})$ , nous pourrions chercher la dépendance linéaire de ces produits directement dans l'espace des impulsions mais il est moins difficile d'exprimer les produits des orbitales de Bloch avec l'expression :

$$\tilde{f}_{\vec{p}}^a(\vec{r}) = \sum_{n_i=-\infty}^{+\infty} f^a(\vec{r} - n_i \vec{a}_i) e^{-i \vec{p} \cdot n} \quad (9)$$

$$\implies \tilde{f}_{\vec{q}_1}^{a*}(\vec{r}) \tilde{f}_{\vec{q}_2}^b(\vec{r}) = \sum_{m_i, n_i=-\infty}^{+\infty} e^{-i(\vec{q}_1 \vec{m}_1 + \vec{q}_2 \vec{n}_2)} f^a(\vec{r} - m_i \vec{a}_i) f^b(\vec{r} - n_i \vec{a}_i) \quad (10)$$

Ici,  $e^{-i \vec{p} \cdot \vec{n}}$  signifie  $\exp(-i(p_1 n_1 + p_2 n_2 + p_3 n_3))$ . Dans leurs précédents travaux [2], Mr Foerster, Mr Coulaud et Mr Koval ont montré que :

$$f^a(\vec{r} - m_i \vec{a}_i) f^b(\vec{r} - n_i \vec{a}_i) = \sum_{\mu, k} V(a, \vec{m}_i | b, \vec{n}_i | \mu, \vec{k}) F^\mu(\vec{r} - k_i \vec{a}_i) \quad (11)$$

Ici les orbitales  $a$ ,  $b$  et  $\mu$  appartiennent généralement à différentes cellules élémentaires. Parce que les translations sont invariantes, il est suffisant pour connaître les coefficients  $V(a, \vec{m}_i | b, \vec{n}_i | \mu, \vec{k})$  pour le centre de la fonction  $F^\mu(\vec{r} - k_i \vec{a}_i)$ , de travailler dans la cellule  $\vec{k} = 0$ . Car, en utilisant l'invariance par translation, nous pouvons trouver tous les coefficients grâce au sous-ensemble  $\vec{k} = 0$

$$V(a, \vec{m}_i | b, \vec{n}_i | \mu, \vec{k}) = V(a, \vec{m}_i - \vec{k} | b, \vec{n}_i - \vec{k} | \mu, 0) \quad (12)$$

Nous pouvons construire les coefficients  $V(a, \vec{m}_i | b, \vec{n}_i | \mu, \vec{k})$ , ou leurs équivalents  $V(a, \vec{m}_i | b, \vec{n}_i | \mu, 0)$  en utilisant les techniques développées dans l'article [2]. En combinant les équations (9) et (11), nous trouvons

$$\tilde{f}_{\vec{q}_1}^a(\vec{r}) \tilde{f}_{\vec{q}_2}^b(\vec{r}) = \sum_{\vec{m}_1, \vec{m}_2=-\infty}^{+\infty} \sum_{\vec{k}} e^{-i(\vec{q}_1 \vec{m}_1 + \vec{q}_2 \vec{m}_2)} V(a, \vec{m}_1 | b, \vec{m}_2 | \mu, \vec{k}) F^\mu(\vec{r} - k_i \vec{a}_i) \quad (13)$$

En utilisant l'invariance par translation des coefficients (12), nous pouvons réécrire l'équation (13) comme

$$\tilde{f}_{\vec{q}_1}^a(\vec{r}) \tilde{f}_{\vec{q}_2}^b(\vec{r}) = \sum_{\vec{m}_1, \vec{m}_2=-\infty}^{+\infty} \sum_{\vec{k}} e^{-i(\vec{q}_1 \vec{m}_1 + \vec{q}_2 \vec{m}_2)} V(a, \vec{m}_1 - \vec{k} | b, \vec{m}_2 - \vec{k} | \mu, 0) F^\mu(\vec{r} - k_i \vec{a}_i) \quad (14)$$

En effectuant les changements de variables  $m_{1,2} \rightarrow m_{1,2} + k$ , on obtient

$$\begin{aligned} \tilde{f}_{\vec{q}_1}^a(\vec{r}) \tilde{f}_{\vec{q}_2}^b(\vec{r}) &= \sum_{\vec{m}_1, \vec{m}_2=-\infty}^{+\infty} e^{-i(\vec{q}_1 \vec{m}_1 + \vec{q}_2 \vec{m}_2)} V(a, \vec{m}_1 | b, \vec{m}_2 | \mu, 0) \\ &\times \sum_{\vec{k}} e^{-i(\vec{q}_1 + \vec{q}_2) \vec{k}} F^\mu(\vec{r} - k_i \vec{a}_i) \end{aligned} \quad (15)$$

---

2. Voir annexe LCAO.

On reconnaît dans (15) la forme d'un produit de Bloch périodique :

$$\tilde{F}_{\vec{q}}^{\mu}(\vec{r}) = \sum_{\vec{n}} e^{-i\vec{q}\vec{n}} F^{\mu}(\vec{r} - \vec{n}\vec{a}) \quad (16)$$

Où  $\vec{n}\vec{a} = n_1\vec{a}_1 + n_2\vec{a}_2 + n_3\vec{a}_3$ . Les vecteurs  $\vec{a}_i$  correspondent aux vecteurs élémentaires du réseau et  $(n_1, n_2, n_3) \in \mathbb{N}$ . Avec  $\tilde{F}_{\vec{q}}^{*\mu}(\vec{r}) = \tilde{F}_{-\vec{q}}^{\mu}(\vec{r})$ . En d'autres termes, nous avons trouvé la décomposition des fonctions de Bloch :

$$\tilde{f}_{\vec{q}_1}^a(\vec{r})\tilde{f}_{\vec{q}_2}^b(\vec{r}) = \sum_{\mu} \tilde{V}_{\mu}^{a,b}(\vec{q}_1, \vec{q}_2) \tilde{F}_{\vec{q}_1+\vec{q}_2}^{\mu}(\vec{r}) \quad (17)$$

Où  $\tilde{V}_{\mu}^{a,b}(\vec{q}_1, \vec{q}_2)$  est la transformée de Fourier des coefficients locaux du vertex :

$$\tilde{V}_{\mu}^{a,b}(\vec{q}_1, \vec{q}_2) = \sum_{\vec{m}_1, \vec{m}_2 = -\infty}^{+\infty} e^{-i(\vec{q}_1\vec{m}_1 + \vec{q}_2\vec{m}_2)} V(a, \vec{m}_1 | b, \vec{m}_2 | \mu, 0) \quad (18)$$

Où :

- $a, b$  et  $\mu$  sont des indices pour repérer les orbitales de chaque atome des cellules concernées.
- $a$  est associé à la première cellule.
- $b$  est associé à la seconde cellule.
- $\mu$  est associé à la cellule 0. ( $\vec{k} = 0$ )
- $\vec{q}_1$  et  $\vec{q}_2$  sont des impulsions.
- $\vec{m}_1 = k_1\vec{a}_1 + k_2\vec{a}_2 + k_3\vec{a}_3$ , où  $(k_1, k_2, k_3) \in \mathbb{N}$
- $\vec{m}_2 = k'_1\vec{a}_1 + k'_2\vec{a}_2 + k'_3\vec{a}_3$ , où  $(k'_1, k'_2, k'_3) \in \mathbb{N}$

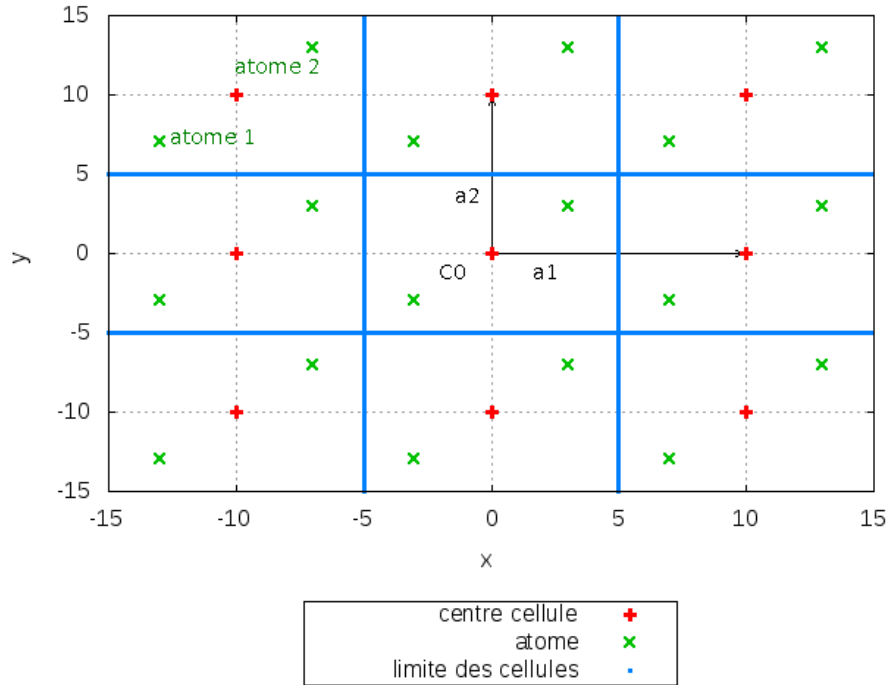


FIGURE 4 – Réseau à deux dimensions, en bleue apparaît les limites des cellules



Avec

$$\tilde{V}_\mu^{a,b}(\vec{q}_1; \vec{q}_2)^* = \tilde{V}_\mu^{a,b}(-\vec{q}_1, -\vec{q}_2)$$

Or on a :

$$\tilde{f}_{\vec{q}}^{a*}(\vec{r}) = \tilde{f}_{-\vec{q}}^a(\vec{r})$$

On obtient alors :

$$\tilde{f}_{\vec{q}_1}^{a*}(\vec{r}) \tilde{f}_{\vec{q}_2}^b(\vec{r}) = \tilde{f}_{-\vec{q}_1}^a(\vec{r}) \tilde{f}_{\vec{q}_2}^b(\vec{r}) = \sum_{\mu} \tilde{V}_\mu^{a,b}(-\vec{q}_1, \vec{q}_2) \tilde{F}_{-\vec{q}_1+\vec{q}_2}^\mu(\vec{r}) \quad (19)$$

### 4.1.3 L'expression de la densité électronique

Il est intéressant de voir comment cette décomposition peut être utilisée pour la densité électronique que l'on avait exprimée avec un produit des fonctions de Bloch :

$$n(r, t) = \psi^\dagger(r, t)\psi(r, t) = \int dp_1 dp_2 \tilde{f}_{\vec{p}_1}^{a*}(\vec{r}) \tilde{f}_{\vec{p}_2}^b(\vec{r}) c_a^\dagger(p_1, t) c_b(p_2, t) \quad (20)$$

En utilisant l'équation (19) on obtient :

$$n(\vec{r}; t) = \int dq_1 dq_2 \sum_{\mu} \tilde{V}_\mu^{a,b}(-\vec{q}_1; \vec{q}_2) \tilde{F}_{-\vec{q}_1+\vec{q}_2}^\mu(\vec{r}) c_a^\dagger(\vec{q}_1, t) c_b(\vec{q}_2, t) \quad (21)$$

Ceci montre que la décomposition des fonctions de Bloch peut-être utilisée pour exprimer la densité électronique. Plus généralement, les fonctions  $\tilde{F}_{\vec{p}}^\mu(\vec{r})$  nous assurent une base de tenseurs pour la réponse en densité d'un système périodique. Comme les fonctions de Bloch originales, les fonctions  $\tilde{F}_{-\vec{p}_1+\vec{p}_2}^\mu(\vec{r})$  n'ont pas de sens physique, mais elles sont nécessaires avec les coefficients  $\tilde{V}_\mu^{a,b}(-\vec{p}_1; \vec{p}_2)$ , pour écrire la densité.

## 4.2 Construction de la base des fonctions de Bloch

### 4.2.1 Description du système

Les systèmes étudiés sont des réseaux de cristaux périodiques, le système est donc constitué d'un motif qui se répète un très grand nombre de fois. Nous désignerons ce motif sous le terme de cellule. Chaque cellule possède un certain nombre d'atomes (nombre qui est identique pour chaque cellule, puisque les cellules sont identiques). La cellule au centre du système est appelée cellule 0. On positionnera l'origine de notre repère au centre de la cellule 0. Chaque centre de cellule sera repéré par un numéro, 3 indices ( $i, j, k$ ), ainsi que par ses coordonnées ( $x, y, z$ ).

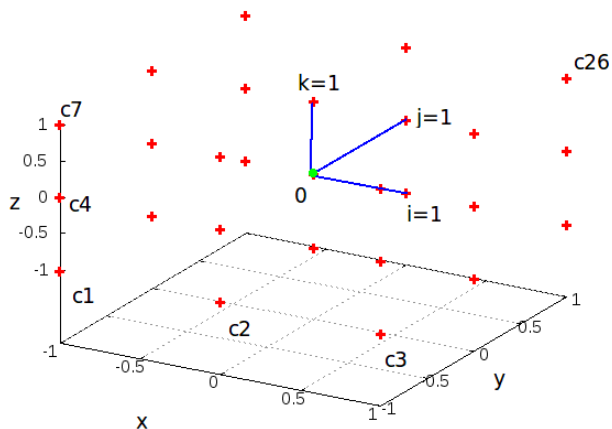


FIGURE 5 – Réseau cubique

Toutes les caractéristiques du système sont enregistrées dans un fichier dont l'extension est .fdf dont la forme est :

BN\_chain.fdf :

```
#NB chain
```

```
NumberOfAtoms      2
NumberOfSpecies     2
AtomicCoordinatesFormat Fractional
```

```
#pas du reseaux
```

```
LatticeConstant    3.43 Ang
```

```
#choix des donnees en sorties
```

```
COOP.write         T
SolutionMethod      diagon
Use.New.Diagk      T
WriteEigenvalues    T
WriteWaveFunctions  T
```

```
#description des especes presente
```

```
%block ChemicalSpeciesLabel
1      5      B
2      7      N
%endblock ChemicalSpeciesLabel
```

```

%block AtomicCoordinatesAndAtomicSpecies
0.00    0.00    0.00    1
0.025   0.025   0.025   2
%endblock AtomicCoordinatesAndAtomicSpecies

%block LatticeVectors
0.0     0.5     0.5
0.5     0.0     0.5
0.5     0.5     0.0
%endblock LatticeVectors

%block BandPoints
0.00    0.00    0.00
1.00    0.00    0.00
0.50    0.50    0.50
%endblock BandPoints

```

Ce fichier est alors exploité par le programme Siesta [3], qui nous donne en sortie toutes les informations dont nous avons besoin pour traiter le système, et en particulier ici, déterminer la base des fonctions de Bloch.

#### 4.2.2 Première étape vers un code pour construire $\tilde{V}_\mu^{a,b}(p_1, p_2)$ et $\tilde{F}_p^\mu(r)$

Les fonctions dominantes de Bloch  $\tilde{F}_p^\mu(\vec{r})$  et les coefficients  $\tilde{V}_\mu^{a,b}(\vec{p}_1; \vec{p}_2)$  sont définis comme suit :

$$\tilde{V}_\mu^{a,b}(\vec{p}_1, \vec{p}_2) = \sum_{\vec{m}_1, \vec{m}_2 = -\infty}^{+\infty} e^{-i(\vec{p}_1 \vec{m}_1 + \vec{p}_2 \vec{m}_2)} V(a, \vec{m}_1 | b, \vec{m}_2 | \mu, 0) \quad (22)$$

$$\tilde{F}_p^\mu(\vec{r}) = \sum_n e^{-i p n} F^\mu(\vec{r} - n_i \vec{a}_i) \quad (23)$$

La première étape pour construire la base des fonctions de Bloch consiste à établir une liste des cellules qui participent à la construction de la base. En effet, dans la plupart des cas, beaucoup de cellules ne participent pas à la construction de la base des fonctions de Bloch.

Tout d'abord, les centres des cellules doivent appartenir à une sphère dont le centre est confondu avec l'origine du repère (centre de la cellule zéro) et le rayon est égal au rayon de l'orbitale maximal des atomes, plus deux fois la distance maximale caractéristique des cellules (cette distance est par exemple la diagonale du cube dans le cas d'un réseaux cubique). Si le centre des cellules est en dehors de cette sphère, alors le coefficient  $\tilde{V}_\mu^{a,b}(-\vec{p}_1; \vec{p}_2)$  peut-être négligé.

Ensuite, il faut tester pour tous les atomes de chaque cellule appartenant à la sphère :

Pour M le milieu de la droite AB, où :

A est la position de *atome*<sub>i</sub> ∈ C<sub>q</sub>

B est la position de *atome*<sub>j</sub> ∈ C<sub>p</sub>, avec p ≠ q.

La cellule participe à la construction de la sphère si :

$$M \in C_0$$

Le programme que j'ai écrit construit la liste des cellules qui respecte ces conditions.

### 4.2.3 Description du programme

Dans cette partie, je vais présenter les parties importantes du programme. Tout d'abord mon programme est divisé en différents modules, mais il utilise également des modules écrits par Peter Koval. Voici le programme principal :

minimal\_cell.F90 :

```
1 program minimal_cell
2
3   use modul_freq_vars, only : initialize_freq_vars
4   use modul_import, only : import_from_siesta
5   use modul_input, only : input_iv, input_calc_param_from_file
6   use modul_log, only : init_logs, ilog, log_timing_note
7   use modul_parallel, only : mynode, end_parallel, init_parallel
8   use modul_init_dft_data, only : init_dft_data
9   use modul_globals
10  use modul_append
11  use modul_minimal_cell
12  use modul_diag_hamiltonien
13  use modul_dipoles
14
15  implicit none
16  integer :: iv = 1
17  real(8) :: start_time, finish_time
18
19  call cputime(start_time);
20  call init_parallel(iv);           ! parallel initialization
21  call init_logs(-1, '.MINI.txt', mynode, iv); ! initialize log file, times file, etc
22  call input_calc_param_from_file(iv);      ! read input parameters from ./tddft_lr.inp
23  iv = input_iv
24  call import_from_siesta(iv);           ! import data from SIESTA
25  call init_dft_data(iv);               ! initializes some internal data
26
27  call construct_minimal_cell(iv);
28  call diag_hamil(iv);
29
30  call cputime(finish_time);
31  call log_timing_note('minimal total ', finish_time-start_time, 0, iv);
32  if(iv>0)write(ilog,*) 'minimal: Voila :-)';
33
34
35 end program !minimal_cell
```

Dans ce fichier, seules les sous-routines `construct_minimal_cell` et `diag_hamil`, ainsi que les modules `modul_globals`, `modul_minimal_cell`, `modul_append` et `modul_diag_hamiltonien`, ont été écrites de ma main, toutes les autres parties ont été écrites par Peter Koval et servent principalement ici à récupérer les données calculées par le logiciel Siesta. Ce programme se contente d'appeler les modules qui effectuent les calculs, seules les lignes 27 et 28 nous intéresseront donc.

La ligne 27 permet d'appeler le module qui construit la liste des cellules qui nous intéressent.

modul\_minimal\_cell.f90 :

Le programme a besoin des modules suivants :

```
1 !modul initialiser par peter et completer par marc afin de calculer les produits
   des fonctions de Bloch
2 module modul_minimal_cell
3 contains
4
5 subroutine construct_minimal_cell(iv)
6   use modul_orbital_vars
7   use modul_globals
8   use modul_append
9   use modul_dipoles
10  use modul_general_vertex
```

Le module `modul_orbital_vars` permet de récupérer des données calculées par Siesta comme le pas du réseau, l'agencement des cellules entre elles, les coordonnées des atomes dans les cellules ...

Le module `modul_globals` définit les constantes générales utilisées pour les calculs comme la valeur de  $\pi$ . Le module `modul_append` appelle la subroutine `append_tabular` qui permet d'ajouter un élément à un tableau dont on ne connaît pas à l'avance le nombre d'éléments qu'il contiendra, cette fonction est inspirée de la commande `LIST.append()` du langage Python.

Les modules `modul_dipoles` et `modul_general_vertex` sont des modules écrits par P.Koval et qui servent à calculer les coefficients  $\tilde{V}_\mu^{a,b}(\vec{p}_1, \vec{p}_2)$  et les fonctions élémentaires  $\tilde{F}_\mu^{\vec{p}}(\vec{r})$

Comme le programme est très long, je ne présenterai que les parties principales. La partie qui suit permet de construire l'ensemble du réseau et commence le tri des cellules :

```

164 do i = dimen, -dimen, -1
165     do j = -dimen, dimen
166         do k = -dimen, dimen
167             !calcul des numeros des cellules
168             if(compt <= ((dimen*2 + 1)**3)/2) then
169                 plan(i, j, k)%numero = compt
170             elseif(compt > ((dimen*2 + 1)**3)/2 + 1) then
171                 plan(i, j, k)%numero = compt-1
172             else
173                 plan(i, j, k)%numero = 0
174             endif
175             compt = compt + 1
176             !coordonnees des cellules
177             plan(i, j, k)%x = j*A(1) + i*A(2) + k*A(3)
178             plan(i, j, k)%y = j*B(1) + i*B(2) + k*B(3)
179             plan(i, j, k)%z = j*C(1) + i*C(2) + k*C(3)
180             !coordonnee des atomes
181             allocate(plan(i, j, k)%pos_atoms_x(1:natoms))
182             allocate(plan(i, j, k)%pos_atoms_y(1:natoms))
183             allocate(plan(i, j, k)%pos_atoms_z(1:natoms))
184             allocate(plan(i, j, k)%pos_atoms_norme(1:natoms))
185             !coordonnees des atomes par rapport a la cellule 0
186             do l = 1, natoms
187                 plan(i, j, k)%pos_atoms_x(l) = plan(i, j, k)%x + list_atoms(l)%x
188                 plan(i, j, k)%pos_atoms_y(l) = plan(i, j, k)%y + list_atoms(l)%y
189                 plan(i, j, k)%pos_atoms_z(l) = plan(i, j, k)%z + list_atoms(l)%z
190                 plan(i, j, k)%pos_atoms_norme(l) = sqrt(plan(i, j, k)%pos_atoms_z(l)**2 + &
191                     &plan(i, j, k)%pos_atoms_y(l)**2 + plan(i, j, k)%pos_atoms_x(l)**2)
192             enddo
193             !print*, 168
194             !distances des cellules a la cellule 0
195             plan(i, j, k)%norme = sqrt((plan(i, j, k)%x)**2 + (plan(i, j, k)%y)**2 + plan(i, j, k)%z**2)
196             !determinations des cellules appartenants a la sphere ou non
197             if((plan(i, j, k)%norme-r_sph>0).and.(plan(i, j, k)%norme-r_sph<(pas1+pas2+pas3)/2)) then
198                 call append_tabular(list_non_sphere, plan(i, j, k)%x, plan(i, j, k)%y, plan(i, j, k)%z,&
199                     & i, j, k, plan(i, j, k)%norme, plan(i, j, k)%numero, compt1)
200                 compt1 = compt1 + 1
201             endif
202             if ((plan(i, j, k)%norme-r_sph)<0) then
203                 call append_tabular(list_sphere, plan(i, j, k)%x, plan(i, j, k)%y, plan(i, j, k)%z,&
204                     & i, j, k, plan(i, j, k)%norme, plan(i, j, k)%numero, compt2)
205                 compt2 = compt2 + 1
206             endif
207         enddo
208     enddo
209 enddo

```

Ici on a donc une triple boucle pour pouvoir se déplacer dans les trois directions de l'espace. Le premier `if` permet de numéroter les cellules sachant que la cellule  $C_1$  à pour indices  $i = \text{dimen}$ ,  $j = -\text{dimen}$ ,  $k = -\text{dimen}$  où `dimen` donne la dimension du système. Par exemple, si `dimen = 3`, on aura 7 cellules selon chaque axe (les indices variants de  $-\text{dimen}$  à  $+\text{dimen}$ ), ce qui nous fera un total de  $7 \times 7 \times 7 = 343$  cellules. Il faut aussi noter que la cellule 0 doit être au centre du réseau.

Ensuite `plan(i, j, k)` est un type dérivé correspondant à une matrice de dimension 3 qui permet de décrire les cellules, c'est à dire qu'à chaque case du tableau `plan` correspond :

- un numéro de cellule

- 3 coordonnées x, y, z
- la norme du centre de la cellule
- 3 listes pos\_atom\_x, y, z qui donnent les coordonnées de chaque atome de la cellule
- une liste de la norme de chaque atome

Donc on donne au centre de la cellule ses coordonnées, puis les coordonnées de chaque atome de la cellule, puis sa norme, puis la norme de chaque atome. Enfin on effectue un test pour savoir si la cellule en question appartient à la sphère (on l'ajoute alors à la liste list\_sphere() grâce à la subroutine append\_tabular) ou non (on l'ajoute à la liste list\_non\_sphere()).

À partir de la liste list\_sphere(), on construit 3 nouvelles listes (une pour chaque indice), qui donnent le numéro des indices contenus dans la sphere. Puis grâce au code suivant, on détermine le numéro des indices qui délimite la sphère (mais qui sont contenus dans la sphère).

```

224      !determinations des numeros de colonne et de ligne qui sont
        !dans la sphere mais pres de la surface
225      val_max_j = maxval(list_j_sphere)
226      val_max_i = maxval(list_i_sphere)
227      val_max_k = maxval(list_k_sphere)

```

Après on détermine les indices des cellules qui sont à l'extérieur de la sphère, grâce à la condition suivante :

```

230      compt = 0
231      !determination de toutes les cellule entourant la sphere
232      do i = 0, 900
233          if(abs(list_non_sphere(i, 6))>val_max_j) then
234              call append_tabular_2(list_colonne_OK,
                list_non_sphere(i, 1), list_non_sphere(i, 6), compt)
235              compt = compt + 1
236          endif
237      enddo
238      k1 = compt

```

On répète cet algorithme pour chaque indice.

Enfin, on détermine les indices maximaux des cellules qui délimitent la sphère.

```

260      !indices entourant la sphere
261      j_droit = list_colonne_OK(0, 2)
262      if (j_droit>0) then
263          j_gauche = -j_droit
264      else
265          j_gauche = j_droit
266          j_droit = - j_droit
267      endif

```

On répète également ceci pour chaque indice. On a donc ici les indices extrêmes qui entourent la sphère, il ne reste alors plus qu'à construire le cube qui délimite la sphère en prenant les cellules dont deux indices sont maximaux et le troisième varie entre ces deux valeurs extrêmes.

Prenons par exemple, le cas des cellules tels que  $k = k_{der}$  et  $i = i_{haut}$ . Alors  $j$  varie entre  $j_{droit}$  et  $j_{gauche}$ . On a alors construit une droite. Après en faisant varier par exemple  $i$ , on obtient un plan etc.. La liste list\_cellule\_lim correspond à la liste des cellules qui délimitent la sphère, et list\_cellule\_complete correspond à la liste de toutes les cellules contenues dans le cube.

Voici l'algorithme qui permet de réaliser ceci :

```

295      !remplissage de list_cellule
296      do j = j_gauche, j_droit
297          do i = i_bas, i_haut
298              do k = k_der, k_dev
299                  call append_tabular_3(list_cellule_complete, plan(i, j, k)%x, plan(i, j, k)%y,&
300                    & plan(i, j, k)%z, plan(i, j, k)%numero, compt1)
301                  compt1 = compt1 + 1

```

```

302         if(j == j_gauche.Or.j == j_droit) then
303             !if((i == i_haut.or.i == i_bas).and.(k/=k_dev.or.k/=k_der)) then
304                 call append_tabular_3(list_cellule_lim, plan(i, j, k)%x, plan(i, j, k)%y,&
305                     & plan(i, j, k)%z, plan(i, j, k)%numero, compt)
306                 compt = compt + 1
307             endif
308         enddo
309     enddo
310 enddo
311 !print*, 258
312 do i = i_bas, i_haut
313     do j = j_gauche, j_droit
314         do k = k_der, k_dev
315             if((i == i_haut.or. i == i_bas).and.(j/=j_droit.or.j/=j_gauche)) then
316                 !print*, "?2"
317                 call append_tabular_3(list_cellule_lim, plan(i, j, k)%x, plan(i, j, k)%y,&
318                     & plan(i, j, k)%z, plan(i, j, k)%numero, compt)
319                 compt = compt + 1
320             endif
321         enddo
322     enddo
323 enddo
324
325 do k = k_der, k_dev
326     do j = j_gauche, j_droit
327         do i = i_bas, i_haut
328             if((k == k_dev.or. k == k_der).and.(j/=j_droit.or.j/=j_gauche)) then
329                 call append_tabular_3(list_cellule_lim, plan(i, j, k)%x, plan(i, j, k)%y,&
330                     & plan(i, j, k)%z, plan(i, j, k)%numero, compt)
331                 compt = compt + 1
332             endif
333         enddo
334     enddo
335 enddo

```

Dans la suite c'est avec `list_cellule_complete` que nous travaillerons, puisqu'on s'intéresse à la liste des cellules appartenants à la sphère donc au cube. Voici ce que cela donne en 2 dimensions :

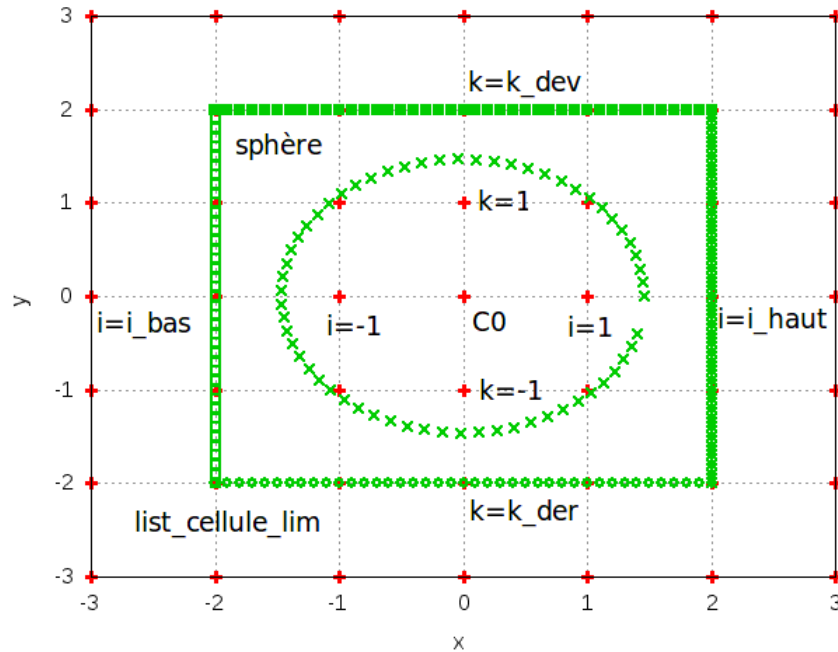


FIGURE 6 – Représentation à deux dimensions du réseau, de la sphère et de list cellule lim

Il ne reste alors plus qu'à vérifier la dernière condition avec l'algorithme suivant :

```

338      !reemplissage de list_finale
339      compt = 0
340      m=0
341      l=0
342      n=0
343      open(100, file='bob.dat')
344      do j = j_gauche, j_droit
345          do i = i_bas, i_haut
346              do k = k_der, k_dev
347                  m = j_gauche
348                  l = i_bas
349                  n = k_der
350                  o = 1
351                  do while(o <= natoms)
352                      m = j_gauche
353                      do while(m <= j_droit)
354                          l = i_bas
355                          do while (l <= i_haut)
356                              n = k_der
357                              do while(n <= k_dev)
358                                  p = 1
359                                  do while(p<=natoms)
360                                      milieu_x = (plan(i, j, k)%pos_atoms_x(o) + plan(l, m, n)%pos_atoms_x(p))/2
361                                      milieu_y = (plan(i, j, k)%pos_atoms_y(o) + plan(l, m, n)%pos_atoms_y(p))/2
362                                      milieu_z = (plan(i, j, k)%pos_atoms_z(o) + plan(l, m, n)%pos_atoms_z(p))/2
363                                      write(100, *) plan(i, j, k)%numero, plan(l, m, n)%numero, milieu_x, milieu_y, milieu_z
364                                      if((milieu_x<pas1/2.and.milieu_x>-pas1/2).and.(milieu_y<pas2/2.and.milieu_y>-pas2/2)&
365                                          &.and.(milieu_z<pas3/2.and.milieu_z>-pas3/2)) then
366
367                                          call append_tabular_4(list_finale, plan(i, j, k)%numero, o, plan(l, m, n)%numero, p, compt)
368                                          compt = compt + 1
369                                          p = natoms+1
370                                          n = k_dev+1
371                                          l = i_haut +1
372                                          m = j_droit +1
373                                          o = natoms + 1
374                                  endif
375                                  p = p +1
376                              enddo
377                          n = n + 1
378
379                                  enddo
380                                  l = l + 1
381                                  m = m + 1
382                                  enddo
383                                  o = o + 1
384                              enddo
385                          enddo
386                      enddo
387                  enddo

```

Après ceci on possède donc la liste de toutes les cellules qui participent à la construction de la base des fonctions de Bloch.

Donc toute les cellules qui appartiennent à ce parallépipède rectangle, et qui respecte la condition donné par le code ci-dessus, participent à la construction de la base des fonctions de Bloch.



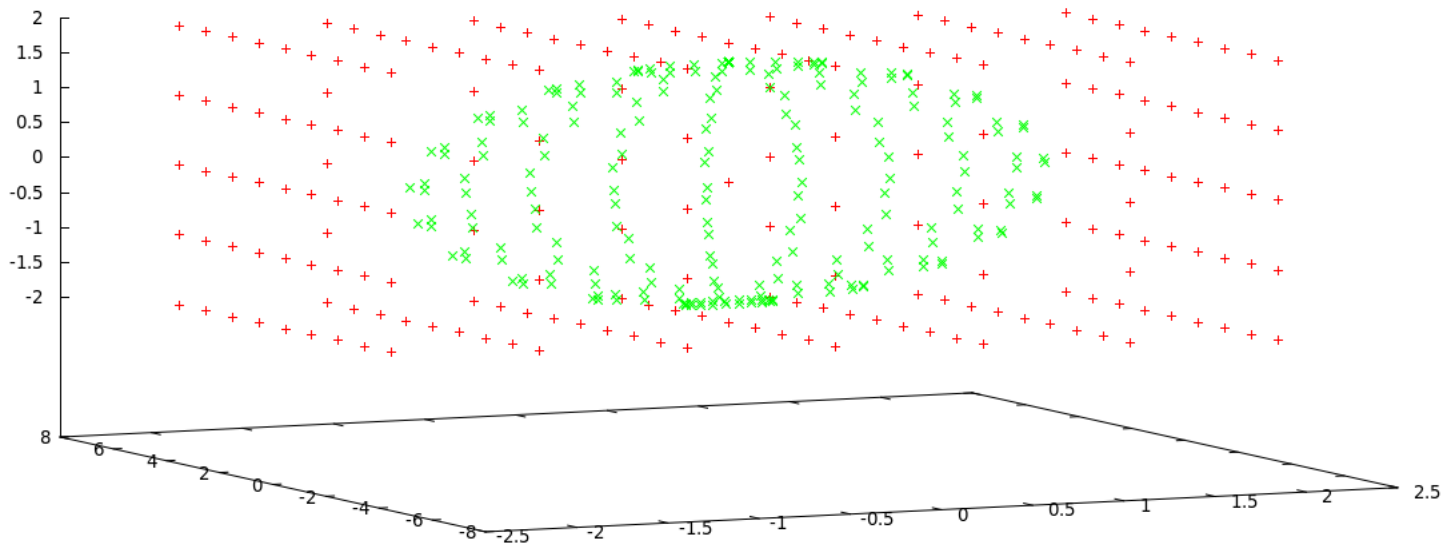


FIGURE 7 – Graphique en 3 dimensions de la sphère et des cellules qui la délimitent

## Conclusion :

Donc durant mon stage mon principal travail fut la construction de ce programme, mais bien sûr la base des fonctions de Bloch n'est pas encore construite et je suis actuellement en train d'essayer de calculer les coefficients  $\tilde{V}_\mu^{a,b}(\vec{p}_1, \vec{p}_2)$  et les fonctions élémentaires  $\tilde{F}_{\vec{p}}^{\mu}(\vec{r})$  à partir de la liste des cellules que j'ai construite.

Malheureusement, ce travail n'est pas terminé et je ne peux donc pas en parler dans ce rapport.

Après, lorsque les coefficients seront calculés, il restera à P.Koval à corriger et à intégrer mon programme au projet, et j'espère ainsi avoir été utile dans leur projet et que mon programme ne soit pas hors contexte et inutilisable.

Bien sûr Mr Foerster, Mr Koval et Mr Sanchez ont encore beaucoup de travail avant d'avoir fini leur projet et j'espère qu'ils réussiront.

Pour ma part, je ressort avec une très bonne impression de ce stage, durant lequel j'ai appris beaucoup de choses en physique des matériaux et en programmation. J'ai également pu voir et participer à la construction d'un programme complet destiné à la physique des matériaux ce qui fut une expérience très enrichissante.

## Annexes

### Les fonctions de Grenn

Voici un exemple d'utilisation des fonctions de Green pour la résolution de l'équation d'onde en électromagnétisme [9] [10] :

$$\left( \vec{\nabla}^2 - \frac{1}{c^2} \frac{\partial^2}{\partial t^2} \right) \Phi(\vec{r}; t) = -\frac{\rho(\vec{r}; t)}{\varepsilon_0}$$

$$\iff D\Phi = \frac{\rho}{\varepsilon_0}$$

Avec :  $D = \vec{\nabla}^2 - \frac{1}{c^2} \frac{\partial^2}{\partial t^2}$

Nous résolvons en premier l'équation suivante :

$$DG(\vec{r}; t) = \delta(t - t_0) \delta(\vec{r} - \vec{r}_0)$$

Nous utilisons la transformé de Fourier temporelle :

$$TF \left( \frac{\partial^2 G}{\partial t^2} \right) = \omega^2 G(\omega) \quad (24)$$

$$TF(\delta(t - t_0)) = 1 \quad (25)$$

Nous trouvons alors :

$$\left( \vec{\nabla}^2 + \gamma^2 \right) G_\omega(\vec{r}; \vec{r}_0; \omega) = \delta(\vec{r} - \vec{r}_0) \quad (\star)$$

Avec :  $\gamma = \frac{\omega}{c}$

On utilise la tranformée de Fourier spatiale dans  $(\star)$ . Ce qui nous donne :

$$-k^2 G_{\omega k} + \gamma^2 G_{\omega k} = 1$$

$$\iff G_{\omega k} = \frac{1}{\gamma^2 - k^2}$$

Puis,

$$G(\vec{r}; \vec{r}_0; \omega) = \left( \frac{1}{2\pi} \right)^3 \int_{-\infty}^{+\infty} d^3k \frac{e^{i\vec{k} \cdot \vec{R}}}{\gamma^2 - k^2}$$

Avec  $\vec{R} = \vec{r} - \vec{r}_0$

On passe en coordonnée polaire :

$$\implies G(\vec{r}; \vec{r}_0; \omega) = - \left( \frac{1}{2\pi} \right)^3 \int_{-\infty}^{+\infty} \frac{e^{ikR \cos(\theta)}}{\gamma^2 - k^2} k^2 dk d\cos(\theta) d\phi$$

$$\iff G(\vec{r}; \vec{r}_0; \omega) = - \frac{1}{4\pi^2} \int_{-\infty}^{+\infty} \frac{e^{ikR \cos(\theta)}}{\gamma^2 - k^2} k^2 dk d\cos(\theta)$$

$$\iff G(\vec{r}; \vec{r}_0; \omega) = \frac{1}{4\pi^2} \int_{-\infty}^{+\infty} \int_{-1}^{+1} \frac{1}{1 - \frac{\gamma^2}{k^2}} e^{ikR \cos(\theta)} d\cos\theta dk$$

$$\iff G(\vec{r}; \vec{r}_0; \omega) = \frac{1}{4\pi^2} \int_{-\infty}^{+\infty} \frac{1}{1 - \frac{\gamma^2}{k^2}} \frac{1}{ikR} \left( e^{ikR} - e^{-ikR} \right) dk$$

$$\iff G(\vec{r}; \vec{r}_0; \omega) = \frac{1}{4\pi^2 Ri} \int_{-\infty}^{+\infty} \frac{1}{k^2 - \gamma^2} \left( e^{ikR} - e^{-ikR} \right) dk$$

$$\iff G(\vec{r}; \vec{r}_0; \omega) = I_1 + I_2$$

Avec :

$$I_1 = \int_{-\text{inf}ty}^{+\infty} \frac{k}{k^2 - \gamma^2} e^{ikR} dk$$

$$I_2 = - \int_{-\text{inf}ty}^{+\infty} \frac{k}{k^2 - \gamma^2} e^{-ikR} dk$$

On utilise la méthode des résidus :

Calcule pour  $I_1$  : on se place dans le demi-plan supérieur

$$\oint f(z) e^{izR} dz$$

avec  $R > 0$ , les pôles de  $f(z)$  sont donnés par :

$$z^2 - \gamma^2 = 0 \implies z_{\pm} = \pm \gamma \in \mathbb{R}$$

$$\implies \oint f(z) e^{izR} dz = \sum_i \text{Res} (f(z) e^{izR}; z_i \text{Im}(z_i) \neq 0) = 0$$

$$\implies \int_{-r}^{-\gamma-\varepsilon} f(z) e^{izR} dz + \int_{-\gamma+\varepsilon}^{\gamma-\varepsilon} f(z) e^{izR} dz + \int_{\gamma+\varepsilon}^r f(z) e^{izR} dz + \oint_{\Gamma_1} f(z) e^{izR} dz + \oint_{\Gamma_2} f(z) e^{izR} dz + \oint_{C_r} f(z) e^{izR} dz = 0$$

Les théorèmes de Jordans permettent d'écrire :

$$\int_{-\infty}^{+\infty} f(z) e^{izR} dz - i\pi (\text{Res} (f(z) e^{izR}; -\gamma) + \text{Res} (f(z) e^{izR}; \gamma)) = 0$$

$$\text{Res} (f(z) e^{izR}; -\gamma) = \lim_{z \rightarrow -\gamma} \left( \frac{k}{k - \gamma} e^{izR} \right) = \frac{1}{2} e^{i\gamma R}$$

$$\text{Res} (f(z) e^{izR}; \gamma) = \lim_{z \rightarrow \gamma} \left( \frac{k}{k + \gamma} e^{izR} \right) = \frac{1}{2} e^{-i\gamma R}$$

$$\implies I_1 = \frac{i\pi}{2} (e^{i\gamma R} + e^{-i\gamma R})$$

un calcul similaire nous donne :

$$I_2 = \frac{i\pi}{2} (e^{i\gamma R} - e^{-i\gamma R})$$

$$\implies G(\vec{r}; \vec{r}_0; \omega) = \frac{1}{4\pi R} e^{i\gamma R}$$

On retourne dans l'espace temporel

$$\implies G(\vec{r}; \vec{r}_0; t; t_0) = \frac{1}{2\pi} \int_{-\infty}^{+\infty} \frac{1}{4\pi} e^{i\gamma R} e^{-i\omega(t-t_0)} d\omega$$

mais :  $\gamma = \frac{\omega}{c}$

$$\implies G(\vec{r}; \vec{r}_0; t; t_0) = \frac{1}{4\pi R} \frac{1}{2\pi} \int_{-\infty}^{+\infty} e^{-i\omega(t_0 - (t + \frac{R}{c}))} d\omega$$

$$\implies G(\vec{r}; \vec{r}_0; t; t_0) = \frac{1}{4\pi R} \delta \left( t_0 - \left( t + \frac{R}{c} \right) \right)$$

Le potentiel électrique est alors donné par :

$$\Phi(r, t) = \frac{1}{\varepsilon_0} \int dt' \int d^3r' G(r', r_0; t', t_0) \rho(r', t')$$

## LCAO

La combinaison linéaire des orbitales atomiques ou LCAO est une superposition quantique d'orbitales atomiques et une méthode de calcul moléculaire en chimie quantique. En mécanique quantique, la configuration électronique des atomes est décrite comme une fonction d'onde. Mathématiquement, ces fonctions d'ondes forment une base de fonctions qui décrivent les électrons d'un atome donné. Pour les réactions chimiques, les orbitales des fonctions d'ondes sont modifiées, c'est à dire que la forme du nuage électronique est changée, selon les types d'atomes qui participent à la réaction.

LCAO a été introduite en 1929 par Sir John Lennard-Jones avec la description des liaisons des molécules diatomiques.

La première hypothèse est que le nombre d'orbitales moléculaires est égal au nombre d'orbitales atomiques incluse dans le développement linéaire. Dans le sens où,  $n$  orbitales atomiques se combinent pour former  $n$  orbitales moléculaires, lesquelles peuvent être numérotées de  $i = 1$  à  $n$  et elles ne peuvent pas être identiques.

L'expression pour la  $i^{eme}$  orbitale moléculaire est :

$$\Phi_i = \sum_r C_{ri} \chi_{ri} \quad (26)$$

Où  $\Phi_i$  est l'orbitale moléculaire représenté comme la somme de  $n$  orbitales atomiques  $\chi_r$ , chacune multipliée par un coefficient  $C_{ri}$  et  $r$  (numéroté de 1 à  $n$ ) représente l'orbitale atomique qui est combiné dans le terme. Les coefficients représentent le poids de la contribution des  $n$  orbitales atomiques pour l'orbitale moléculaire. La méthode de Hartree-Fock est utilisée pour calculer ces coefficients.

En minimisant l'énergie totale du système, une famille appropriée de coefficients de la combinaison linéaire est déterminée.

## Références

- [1] P.M. Chaikin and T.C. Lubensky. *Principles of condensed matter physics*. Cambridge university press, 1995.
- [2] P. Koval D. Foerster and O. Coulaud. Fast construction of the kohn sham response function for molecules. *physica status solidi B*, 2010.
- [3] D. Sanchez E. Artacho. *User's Guide : Siesta 3.1*, 2011.
- [4] Gabriele F. Giuliani and Giovanni Vignale. *Quantum theory of the electron liquid*. Cambridge University Press, 2005.
- [5] Giuseppe Grosso and Giuseppe Pastori Parravicini. *Solid state physics*. Academic Press, 2000.
- [6] Hartmut Haug and Stephan W. Koch. *Quantum theory of the optical and electronic properties of semiconductors*. World Scientific, 2004.
- [7] H. Haken. *Quantum field theory of solids*. North-Holland, 1976.
- [8] Richard M. Martin. *Electronic structure, basic theory and practical methods*. Cambridge University Press, 2004.
- [9] G. Rickayzen. *Green's functions and condensed matter*. Academic Press, 1984.
- [10] E. H. Sondheimer S. Doniach. *Green's functions for solid state physicists*. Advanced Book Program, 1974.